2025년 추계학술발표대회 : 일반부문

철근콘크리트 외부 보-기둥 접합부의 비선형 거동을 고려한 전단응력 및 변형률 예측

Prediction of Shear Stress-Strain considering the nonlinear behavior of Reinforced Concrete Exterior Beam-Column Joins

○황 지 \mathbb{Q}^* 안 세 \mathbb{Q}^* 황 원 \mathbb{C}^{**} 김 시 \mathbb{D}^{***} 김 승 \mathbb{Q}^{****} Hwang, Ji Min An, Se Jin Hwang, Won Jun Kim, Siyun Kim, Sung Jig

키워드: 외부 보-기둥 접합부, 전단거동, 전단스프링, 유한요소해석, 전단응력-변형률

Keywords: Exterior Beam-Column Joint, Shear Behavior, Shear Spring, Finite Element Analysis, Shear stress-strain

철근콘크리트 모멘트 골조에서 보-기둥 접합부는 전체 구조물의 거동에 영향을 미치는 중요한 구조부재이므로, 구조물의 안전성을 위하여 이에 대한 비선형 거동을 정확하게 예측할 필요가 있다. 따라서, 본 연구에서는 OpenSees를 활용하여 내부 접합부에 비해 구속효과가 낮아 더욱 취약한 외부 보-기둥 접합부의 해석모델을 제안하였다. 또한, 30개의 연성 접합부, 27개의 비연성접합부 실험데이터를 기반으로 단계적 회귀분석을 수행하여 전단응력-변형률 예측식을 제안하였다.

그림1.에 나타난 바와 같이 접합부 패널은 단일 전단스프링과 세 개의 강체 요소로 구성된다. pinching4 모델을 활용하여 전단스프링의 이력거동을 모사하였으며, 이는 zeroLength element로 구현하였다. 보와 기둥은 휨거동 모사를 위하여 nonlinearBeamColumn element를 활용하여 모델링하였다. 섬유단면에 대하여 ConcreteO2, SteelO2 재료 모델을 사용하였으며, 콘크리트 구속계수는 Cusson and Paultre(1995)[1]에 따라 산정하였다.

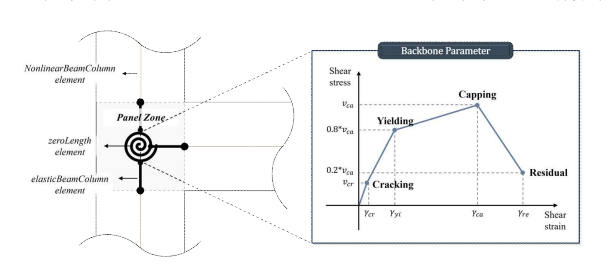


그림1. 외부 보-기둥 접합부 해석모델

신뢰도 높은 예측식 제안을 위하여 ASCE 41-23에 따라 연성 및 비연성 접합부로 구분하였다. 외부 보-기둥 접합부

(Corresponding author : Department of Architectural Engineering, Keimyung University, sjkim4@kmu.ac.kr)

이 연구는 2025년도 과학기술정보통신부의 재원으로 한국연구 재단의 지원으로 수행된 과제임. 과제번호:RS-2021-NR061963 의 전단거동과 관련이 있다고 여겨지는 물리적 매개변수를 수집하여 단계적 회귀분석 시 독립변수로 활용하였으며, 보 정 과정에서 도출된 전단응력 및 변형률을 종속변수로 활용 하였다. 모든 매개변수는 로그로 변환하여 사용하였으며, 결정 계수와 평균 제곱근 오차를 기준으로 신뢰도 높은 예측식이 도 출될 때까지 단계적 회귀분석을 반복하여 수행하였다. 두 접합 부 모두 항복점의 전단응력은 최대점의 0.8배, 잔류점의 전단 응력은 최대점의 0.2배로 지정하여 별도의 단계적 회귀분석은 수행하지 않았다. 식(1)~(6)은 연성 접합부, 식(7)~식(12)은 비연 성 접합부의 도출된 전단응력 및 변형률 예측식을 나타내었다.

$$v_{cr} = e^{-2.61} (f_{ck})^{0.53} (h_b/h_c)^{1.05}$$
(1)

$$v_{ca} = e^{2.72} (f_{ck})^{0.46} (h_b)^{-1.18} (b_i)^{0.76}$$
 (2)

$$\gamma_{cr} = e^{-16.96} (f_{ck})^{0.54} (b_j)^{-4.29} (I_{ab})^{1.45} (\rho_b)^{-0.43}$$
(3)

$$\gamma_{ui} = e^{-16.87} (b_i)^{-1.56} (I_{qb})^{0.99} \tag{4}$$

$$\gamma_{ca} = e^{-18.24} (f_{ck})^{0.64} (b_j)^{-4.58} (I_{ac})^{1.41} (f_{utj})^{0.85} (\rho_b)^{-0.95}$$
 (5)

$$\gamma_{re} = e^{3.86} (f_{ck})^{0.15} (b_i)^{-4.36} (I_{oc})^{1.04} (f_{vlb})^{-0.41} (\rho_i)^{0.15}$$
 (6)

$$v_{cr} = e^{-1.72} (f_{ch})^{0.29} (BI)^{-0.04} (h_b/h_c)^{0.78}$$
(7)

$$v_{ca} = e^{0.16} (f_{ck})^{0.60} (BI)^{0.46}$$
(8)

$$\gamma_{cr} = e^{-2.64} (b_j)^{0.64} (f_{ylc})^{-1.29} (v_{cr})^{0.68} \tag{9}$$

$$\gamma_{ni} = e^{19.35} (f_{ck})^{1.01} (b_i)^{3.07} (L_b)^{-5.85} (I_{ac})^{0.71} (f_{nlc})^{-3.58} (\rho_c)^{-1.08}$$
 (10)

$$\gamma_{ca} = e^{14.91} (f_{ck})^{0.83} (I_{qb})^{-0.88} (I_{qc})^{0.68} (f_{ylc})^{-2.33} (P)^{-0.21}$$
(11)

$$\gamma_{re} = e^{21.67} (I_{ab})^{-0.45} (f_{ub})^{-2.14} (\rho_c)^{0.37}$$
(12)

예측식을 통해 도출된 값을 보정값과 비교한 결과, 모든 예측식의 결정계수는 0.80 이상으로 높은 정확도를 나타내었다. 이를 적용하여 해석한 결과를 실험데이터와 비교한 결과, 중앙값을 기준으로 두 접합부 모두 최대모멘트는 85~90%, 초기강성은 95% 수준으로 과소평가하였다.

참고문헌

 Cusson, D., & Paultre, P. (1995). Stress-strain model for confined high-strength concrete. Journal of Structural Engineering, 121(3), 468-477.

^{*} 계명대 대학원 석사과정

^{**} 계명대 대학원 박사과정

^{***} 계명대 건축공학과 박사후연구원

^{****} 계명대 건축공학과 교수, 공학박사